# Вестник московского университета

Nº 6 — 1975

## КРАТКИЕ СООБЩЕНИЯ

УДК 539.216.22:535

А. И. АКИШИН, С. К. ГУЖОВА, В. И. ТИТОВ

### ИЗМЕНЕНИЕ ОПТИЧЕСКОЙ ПЛОТНОСТИ ТОНКИХ ПЛЕНОК ДВУОКИСИ ТИТАНА ПРИ БОМБАРДИРОВКЕ ИОНАМИ МАЛЫХ ЭНЕРГИЙ

В настоящей работе спектральным методом исследовались эффекты воздействия понов водорода и кислорода малых энергий на пленки TiO<sub>2</sub>. Методика получения ионов водорода и кислорода с энергией ~10 эВ и плотностью потока 10<sup>15</sup> см<sup>-2</sup>с<sup>-1</sup> в плазме высокочастотного разряда описана в работах [1, 2]. Поскольку в экспериментальной установке в процессе бомбардировки ионами давление составляет 10<sup>-2</sup> мм рт. ст., взаимодействие ионов с поверхностью образца происходит при наличии на последней демпфирующего слоя адсорбированных атомов и молекул газа, в котором ионы с энергией 10 эВ испытывают упругое рассеяние и частично перезаряжаются. Спектральный метод дает возможность наблюдать изменения состояния поверхности и адсорбционного слоя образца в вакууме непосредственно после воздействия ионов и релаксацию этих изменений.

Экспериментальная установка включает в себя вакуумный пост с диффузионным масляным насосом и криосорбционными ловушками, газоразрядную трубку с кварцевыми окнами, в которой помещается подвижный образец, и оптическую систему для измерения спектров пропускания TiO<sub>2</sub>. Предельный вакуум перед напуском газа в разрядный объем составляет 10-7 мм рт. ст., давление в процессе бомбардировки пленки ионами — 10-2 мм рт. ст. обеспечивается проточной системой подачи газа. Оптическая система регистрации спектральных коэффициентов пропускания состоит из двойного монохроматора ДМР-4 и фотоумножителей ФЭУ-39 и ФЭУ-22 для приема светового сигнала, проходящего через образец TiO<sub>2</sub> на кварцевой подложке и кварцевые окна разрядной трубки.

Пленки TiO<sub>2</sub> толщиной в несколько десятых долей микрона напылялись на кварцевую подложку в отдельной напылительной установке с предельным вакуумом  $10^{-5}$  мм рт. ст. Образцы имеют контрольный участок, свободный от TiO<sub>2</sub>, который можно с помощью подвижного крепления ставить под зондирующий световой пучок, что позволяет выделить эффект, связанный лишь с изменением поверхности TiO<sub>2</sub>. Характер изменения спектров пропускания напыленных пленок [1] говорит об отсутствии существенных интерференционных эффектов. Авторы [3], использовавшие аналогичную технику приготовления пленок TiO<sub>2</sub>, также не наблюдали в результате химической обработки влияния интерференционных экстремумов на изменение поглощения в слое TiO<sub>2</sub>.

На рисунке приведены полученные нами спектральные характеристики, представляющие собой типичные изменения оптической плотности  $\Delta D$ -пленки  $\mathrm{TiO}_2$  в диапазоне длин волн  $\lambda=3000\div10\,000$  Å ( $\Delta D=\Delta\,(kx)$ , где k — коэффициент поглощения, x — толщина пленки). Ошибка определения  $\Delta D$  не превышает 2%.

Как видим (кривая 1), после обработки пленки  ${\rm TiO_2}$  нонами водорода появляется резкое увеличение поглощения в области  $\lambda{\leqslant}3650$  Å, примыкающей к границе бальмеровской серии водорода. Этот континуум поглощения наблюдается после выключения разряда при водородном наполнении трубки при давлении  $10^{-2}$  мм рт. ст. в течение  $\sim 15$  мин, но при последующем напуске кислорода до 760 мм рт. ст. мгновенно исчезает.

Характер изменения оптической плотности пленки TiO2 после напуска кислорода позволяет отнести неустойчивую полосу поглощения при А≤3650 А к изменению состава адсорбционного газового слоя на поверхности пленки, образовавшегося в результате ее бомбардировки ионами водорода. В разряде адсорбционный слой атомарного водорода образуется вследствие большой степени диссоциации молекул водорода (до 90% [2]) и в процессе поверхностной рекомбинации Н+ с электронами, образующими отрицательный потенциал поверхности. Так как узкая полоса поглощения, ограниченная сверху длиной волны  $\lambda=3650$  Å, может соответствовать фото-

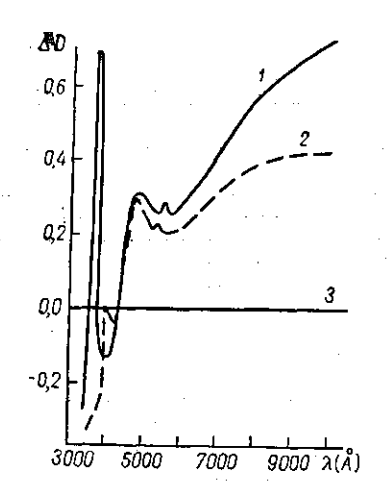
ионизационному максимуму лишь взобужденного (n=2) атома водорода, следует предположить, что адсорбированный слой водорода находится в частично возбужденном состоянии (поглощение для нормального состояния атома Н наблюдается в далекой ультрафиолетовой области для  $\lambda ≤ 970$  Å [4]). Длительное существование этого возбужденного слоя на поверхности после прекращения разряда при  $10^{-2}$  мм рт. ст. указывает на возможность изомерного состояния водорода; его дальнейшее взаимодействие с кислородом может привести к гидратированию  ${\rm TiO_2},$  а также давать вклад в поглощение при  $\lambda{=}4200$  Å.

Этот незначительный максимум поглощения, проявляющийся на спектральной характеристике TiO<sub>2</sub>, после выдерживания в течение 13 ч в атмосфере кислорода (кривая 2) мож-

но отнести к соединению ионов титана с молекулами перекиси водорода. Как показано в [5], воздействие ионизирующих излучений на гидратированные окислы металлов приводит к появлению на поверхности перекиси водорода, которая образует окращенные комплексы с пе-

реходными элементами. Длина волны максимума поглощения, соответствующего комплек-

су H<sub>2</sub>O<sub>2</sub> и Ti<sup>+4</sup>, близка к 4200 Å [6]. Следующий отчетливый максимум поглощения в области 4800 А устойчив и наблюдается как на поверхности после прекращения бомбардировки ионами водорода, так и при последующем напуске кислорода 760 мм рт. ст. Незначительное падение интенсивности  $\Delta D$  в области 4800 Å наступает только после даль-



Изменение оптической плотности пленки ТіО2 в результате последовательной обработки:  $\frac{1}{1}$  — потоком ионов водорода  $10^{18}~{\rm cm^{-2}}$  с энергией 10 эВ, 2 — молекулярным кислоро-дом при атмосферном давлении в течение 13 ч, 3 - по-TOKOM ионов кислорода  $10^{18}$  см $^{-2}$  с энергией 10 эВ

нейшего выдерживания образца в кислороде в течение более половины суток (кривая 2). Аналогичная зависимость  $\Delta D$  зарегистрирована и для небольшого максимума поглощения в области 5500 А. Эти два максимума изменения оптической плотности пленки TiO2 предположительно можно отнести к характерному окрашиванию в результате хемосорбционных процессов, в которых участвуют органические примеси (неизбежные в первую очередь из-за присутствия следов паров масла при получении пленок в напылительной установке). Наличие углеводородов в составе пленки TiO2 безусловно может привести при ее обработке ионами Н к образованию на поверхности комплексов карбониевых ионов, спектр поглощения которых и определяет окрашивание двускиси титана в видимой области [7]. Впервые типичные для спектров карбониевых ионов и их комплексов две устойчивые полосы поглощения в видимой области спектра с расстоянием между максимумами

~1000 Å наблюдались в протоносодержащих средах [8].
Наиболее сильное увеличение поглощения пленки TiO<sub>2</sub> при бомбардировке ионами водорода наблюдается при  $\lambda = 6000 \div 10\,000\,$  Å (кривая 1). Этот максимум  $\Delta D$  устойчиво сохраняется при прекращении бомбардировки в водороде при  $10^{-2}$  мм рт. ст., а под воздействием молекулярного кислорода постепенно ослабевает (кривая 2). Поглощение для  $\lambda = 600 \div 10\,000$  Å, по-видимому, характеризует изменение состояния поверхности  $TiO_2$  в результите более сильных, чем простая физическая сорбция водорода, хемосорбционных связей  $H^+$  с  $TiO_2$ , приводящих к нарушению стехиометрии окисла в связи с восстановлением  $TiO_2$  ионами водорода. Аналогичный максимум поглоще-

ния наблюдался в [9] при химическом восстановлении двуокиси титана. После выдерживания в атмосфере кислорода пленка TiO<sub>2</sub> была подвергнута бомбардировке ионами кислорода с энергией 10 эВ интегральным потоком  $10^{18}$  см $^{-2}$ . При этом все изменения оптической плотности, показанные на рисунке, были сняты, и спектр пропускания TiO2 вернулся к исходному, существующему до первичной обработки пленки ионами  $H^+$ , что соответствует уровню  $\Delta D = 0$  (кривая 3). Таким образом, все предположенные механизмы изменения оптической плотности пленки TiO2 с органическими примесями под влиянием H+ в. ч. плазмы полностью обратимы при взаимодействии с ионизованным кислородом, что соответствует их физико-хими-

ческой природе.

Сильная зависимость максимумов оптической плотности пленок TiO<sub>2</sub> от обработки в восстановительной (плаэма водорода) и окислительной (плаэма кислорода) среде также позволяет отнести эти максимумы не к интерференционным явлениям в слое, а к результату гетерогенных реакций при взаимодействии низкотемпературной плазмы с поверхностью ТіО2.

#### ЛИТЕРАТУРА

- 1. Акишин А. И., Блюдов Е. В. и др. «Журнал прикладной спектроскопии»,
- 12, вып. 1, 13, 1970. 2. Акишин А. И., Блюдов Е. В. и др. «Вестн. Моск. ун-та», физ., астрон., 13, № 6, 634, 1972. 3. Травина Т. С., Мухин Ю. А. «Изв. вузов», сер. физ., № 6, 74, 1966. 4. Фриш С. Э. Оптические спектры атомов. М.—Л., 1963.

- 5. Нанобашвили Е. М., Бах Н. А. Сборник работ по радиационной химии. М.,
- 1955, стр. 123. 6. Бабко А. К., Пилипенко А. Т. В сб.: «Фотометрический анализ». М., 1968, стр. 251.
- 7. Пименов Ю. Д., Холмогоров В. Е. «Вестн. Ленингр. ун-та», вып. 2. № 10.
- 8. Китова А. И., Варшавский Я. М. ДАН, 135, 1395, 1960.

9. Cronemeyer. «Phys. Rev.», 82, 975, 1951.

Поступила в редакцию 3.6 1974 г.

ФРИИН

(527.226 + 537.311.33) : 538

#### К. П. МИТРОФАНОВ, П. Б. ФАБРИЧНЫЙ, Е. В. ЛАМЫКИН, А. М. БАБЕШКИН, Л. П. ФЕФИЛАТЬЕВ

## СВЕРХТОНКАЯ СТРУКТУРА МЕССБАУЭРОВСКИХ CHEKTPOB 119Sn4+ B Cr<sub>2</sub>O<sub>3</sub>

Мёссбауэровские исследования на примесных ядрах  $^{119}$ Sn, введенных в антиферромагнитные окислы ( $\alpha$ -Fe $_2$ O $_3$  [1—4], MnO [5]), показали наличие значительных эффективных магнитных полей ( $H_{9\Phi\Phi}$ ) на ядрах диамагнитных ионов Sn $^{4+}$ .

В настоящей работе приводятся результаты, полученные для 119 Sп4+ в антиферромагнитном окисле  $Cr_2O_3$ , имеющем как и  $\alpha$ - $Fe_2O_3$  структуру корунда (R3c), отличающемся, однако, от  $\alpha$ - $Fe_2O_3$  меньшей величиной эффективного магнитного момента катионов матрицы  $(\mu_{Fe_2O_3}=5,92\,\mu_{\rm B},\,\mu_{Cr_2O_3}=3,73\,\mu_{\rm B}).$  Образцы  $Cr_2O_3$  были приготовлены путем отжига на воздухе свежеосажденной гидроокиси Cr (III), содержащей примесь  $Sn^{4+}$  (88% обогащения по  $^{119}Sn$ ). Образо-

вание кристаллической окиси хрома было установлено рентгенографически. Наличие сверхтонкой структуры у <sup>119</sup>Sn<sup>4+</sup>, вошедшего в кристаллическую решетку антиферромагнитного окисла, позволяет оценить максимальную растворимость диамагнитной примеси олова по моменту появления нерасщепленной центральной линии в низкотемпературных спектрах  $^{119}{\rm Sn}$  с увеличением концентрации олова. Для  ${\rm Cr}_2{\rm O}_3$ растворимость  $Sn^{4+}$  была  $\sim 1$  ат.%.

Большая часть исследований была выполнена на крупнокристаллическом образце  $Cr_2O_3$ , отожженном при 1000°С ( $\overline{d}_{perr}>500$  Å), содержащем 0,5 ат.%  $Sn^{4+}$ .

Мёссбауэровские спектры получены на спектрометре электродинамического типа с постоянным ускорением. Источником служил Ва 119SnO<sub>3</sub> при комнатной температуре. В качестве детектора использовался резонансный счетчик [6].

 ${\rm Cr_2O_3}$  характеризуется температурой Нееля  $T_N\!=\!307~{\rm K}$  [7]. В соответствии с этим значением спектр  ${}^{10}{\rm Sn^4}+$  при  $T_{{\tt M3M}}\!=\!373~{\rm K}$  не имеет магнитной сверхтонкой структуры. Охлаждение поглотителя до температуры ниже  $T_N$  приводит к зеемановскому рас-щеплению ядерных уровней основного и первого возбужденного состояния  $^{119}{\rm Sn}$ (рис. 1). Основные нараметры мёссбауэровских спектров приведены в таблице. Наб-